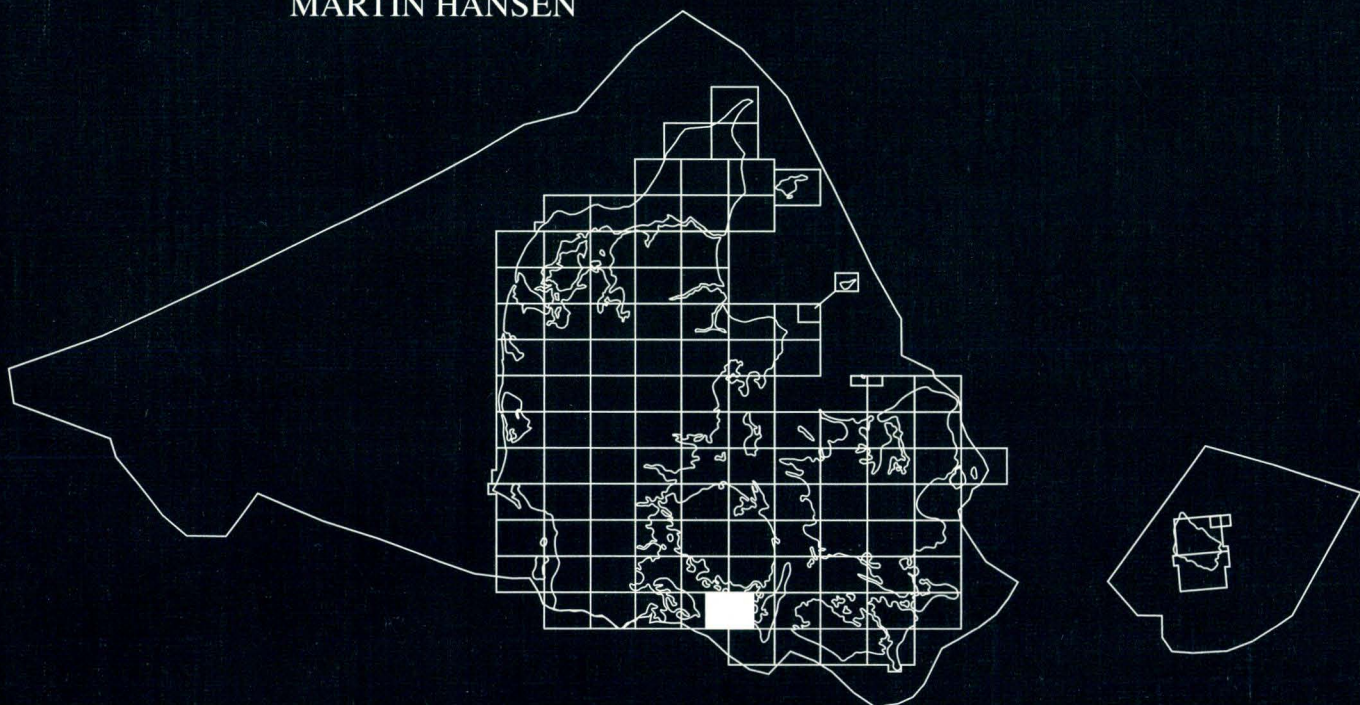


# Geologisk kort over Danmark Geological map of Denmark 1 : 50 000

Kortbladet 1311 IV Mommark  
og del af 1311 I Rudkøbing  
Map sheet 1311 IV Mommark  
and part of 1311 I Rudkøbing

Geologisk basisdatakort  
Geological basic data map

AF/BY  
MARTIN HANSEN



# Geologiske kort – et værktøj

Det geologiske kort er et værktøj, der bruges af brøndborere, ingeniørfirmaer, offentlige myndigheder, undervisere og mange andre.

DGU's vigtigste opgave er at kortlægge, dokumentere og informere om vores lands geologiske forhold: Hvad landet består af, hvorledes det er opbygget og dannet. DGU har over 100 års erfaring med udarbejdelse af sådanne geologiske kort.

Kortlægningen gælder undertiden mere specielle geologiske områder, f.eks. kortlægningen af fremstillingsråstoffer som grus, kalk og ler, og til andre tider er det energiråstoffer som brunkul, olie og geotermisk varme, men som regel indgår kortlægning af grundvand altid.

Det geologiske kort er den bedst egnede måde at beskrive landets opbygning og naturressourcernes fordeling på. Man kan imidlertid ikke fremstille et kort, der indeholder alt, og som kan anvendes til alle formål. Det enkelte kort indeholder derfor oftest et bestemt tema. Der findes således kort over bjergarternes udbredelse, såvel de overfladenære som de dybtliggende, hydrogeologiske kort, kort over prækuartæreroverfladens højdeforhold, kort over grundvandsboringer, kort over strukturforholdene i den dybere undergrund og meget andet.

Ved udformningen og anvendelsen af kort er målforholdet af største betydning. Präcisionen i afgrænsningen mellem forskellige geologiske fænomener er afhængig af målforholdet. En ændring af målforholdet fra et lille til et stort (en forstørrelse af kortet) vil medføre en formindsket nøjagtighed. Det må endvidere tages i betragtning, at mængden af oplysninger på kortene ofte har måttet begrænses på grund af pladshensyn.

Et geologisk kort er, ligesom andre publikationer, udtryk for den viden, man har på det tidspunkt, kortet blev fremstillet. Men på grund af udviklingen i den geologiske videnskab og fremkomsten af nye oplysninger, kan der være behov for i tidens løb at revidere kortet.

# Geological maps – a tool

The geological map is a tool used by well drillers, construction firms, public authorities, teachers, to mention a few.

The main tasks of the DGU are the mapping of the country, and providing documentation and information on the geological features of Denmark, the materials, their structures and genesis. The DGU has more than 100 years of experience in the preparation of geological maps of our country.

In addition the mapping aims at economic and public interest. It may be the mapping of manufacturing raw materials, i.e. clay, lime and gravel, or it may be energy raw materials such as lignite, oil and geothermal heat. The mapping of groundwater resources and the movement of the groundwater is an essential part of the work carried out by the DGU.

The geological map is the most suitable way to describe the geology of the country. Of course it is not possible to prepare a geological map which contains all available information and which can be used for all purposes. Therefore, specialized thematic maps are made, showing the geology of the subsurface, hydrology, position of water borings, preQuaternary surface, structural outline of the underground and much more.

In the presentation and the use of maps the scale is significant. The exactness of the boundaries between different geological phenomena depends on the scale of the map. A change of the scale from a small one to a larger one (an enlargement of the map) will diminish the accuracy. Furthermore, it must be considered that the geological documentation on the map frequently is limited due to lack of space.

Like other publications a geological map expresses the knowledge of the area at a certain time. Because of the progress in geology and discoveries of new information it will be necessary to revise the map in the course of time.



Danmarks Geologiske Undersøgelse  
Miljø- og Energiministeriet

Danmarks Geologiske Undersøgelse (DGU) er en rådgivnings- og forskningsinstitution under Miljø- og Energiministeriet.

DGU har som hovedopgave at varetage dataindsamling og kortlægning samt forskning, rådgivning og formidling med sigte på at forbedre kendskabet til materialer, processer og sammenhænge, der har betydning for nytiggørelsen og beskyttelsen af Danmarks geologiske naturværdier.

Blandt DGU's opgaver på miljøområdet kan nævnes rådgivning og forskning vedrørende miljøbeskyttelse, vandforsyning, råstofindvinding og naturbeskyttelse. På energiområdet bistår DGU med administration af lovgivningen om udnyttelsen af forekomster i Danmarks undergrund, herunder varetagelse af statens tilsyn med efterforskningen og indvindingen af olie, naturgas og jordvarme m.m. Desuden udfører DGU i vidt omfang opgaver for private firmaer på kontraktvilkår på miljøområdet såvel som på energiområdet.

Danmarks Geologiske Undersøgelse blev oprettet i 1888, og der er i de forløbne år publiceret en lang række afhandlinger om instituttets videnskabelige og praktiske virksomhed.



Geological Survey of Denmark  
Ministry of Environment and Energy

The Geological Survey of Denmark (DGU) is an advisory and research institution under the Danish Ministry of Environment and Energy.

DGU's primary function is to provide the essential geological service for the utilization and protection of Denmark's natural resources. This involves mapping, data collection and basic research, in addition to providing impartial advice and presenting geological results to both the general public and the scientific community.

Within the environmental sphere, DGU has both an advisory and a research role with respect to environmental protection, water supply, exploitation of raw materials and nature conservation. Within the energy sphere DGU assists in the administration of the utilization of deposits in the subsurface, including the supervision of exploration for and exploitation of oil, natural gas, geothermal energy etc. In addition, DGU undertakes numerous contract assignments for private firms, concerning both environmental and energy areas.

The Geological Survey of Denmark was established in 1888, and over the years a large number of papers have been published on the Survey's scientific and practical activities.

# Geologisk kort over Danmark Geological map of Denmark 1 : 50 000

Kortbladet 1311 IV Mommark  
og del af 1311 I Rudkøbing  
Map sheet 1311 IV Mommark  
and part of 1311 I Rudkøbing

AF/BY  
MARTIN HANSEN

*Keywords:*

Wells, Eocene, Saalian, Eemian, Weichselian, Holocene, Hydrogeology.

Området er tidligere kortlagt af K.Binzer og P. C. Rasmussen, 1977.

Bilag: Figur 1. Profil fra kystklint.

Enclosure: Figur 1. Profile from coastal cliff.

DGU's Kortserie nr. 41

ISBN 87-89813-18-9

ISSN 0901-9405

Oplag: 800

Repro af kort: Kai Hansen, Graphic ApS, København

Tryk af kort: From og Co., København

Repro og tryk af omslag og tekst: AiO Tryk as, Odense

Dato:

Martin Hansen

Danmarks Geologiske Undersøgelse

Thoravej 8, DK-2400 København NV

Redaktion: Ib Marcussen

© Danmarks Geologiske Undersøgelse

Thoravej 8, DK-2400 København NV

I kommission hos Geografforlaget ApS, 5464 Brænderup

# Beskrivelse

Det geologiske basisdatakort Ærø 1311 IV Mommark med en del af 1311 I Rudkøbing i målestoksforholdet 1:50.000 omfatter Ærø, den sydvestlige del af Tåsingør, Drejø samt flere småøer. Kortet er udarbejdet og trykt for Fyns Amtskommune i 1992. Området er tidligere kortlagt af Binzer & Rasmussen i 1977, men der er foretaget en ny redigering og en ny geologisk tolkning ved denne udgivelse.

På kortet vises boringsoplysninger fra Danmarks Geologiske Undersøgelses (DGU's) borearkiv (Gravesen, 1985). Boringerne er udtegnet som cirkeldiagrammer, der viser en række geologiske, hydrogeologiske og boringstekniske data (Andersen, 1973; Andersen & Gravesen, 1989). Cirkeldiagrammerne er edb-udtegnede på grundlag af DGU's boringsdatabase ZEUS (Gravesen & Fredericia, 1984), hvor størstedelen af oplysningerne i borearkivet er lagret.

De fleste boringer på kortet er vandforsyningsboringer, men der er også en del geotekniske boringer. De geologiske oplysninger fra alle disse boringstyper er med til at give en så detaljeret viden om de geologiske forhold som muligt.

De geologiske forhold er tolket ud fra boreprøvebeskrivelser foretaget i DGU's boreprøvelaboratorium, og fra de beskrivelser brøndborerne har angivet på borejournalerne. Tolkningen er foretaget ud fra opfattelsen af en overordnet geologisk model for området. Hvor det er skønnet muligt, er de enkelte lag korreleret fra boring til boring. De originale geologiske data er angivet i cirkeldiagrammerne som bogstavssymboler. Symboler med ét tegn angiver lag med en usikker beskrivelse (f. eks. s = sand), mens symboler med to tegn angiver geolog beskrevne lag (f. eks. ds = smeltevandssand). Tolkningen af de enkelte lag vises med farvesignaturer, som undertiden kan være afvigende fra bogstavssymbolerne. I ZEUS databasen er det de oprindelige data, der opbevares, men der er mulighed for at gemme både den oprindelige og den tolkede lag information.

## Prækvartære aflejringer

Inden for området træffes prækvartæret i få boringer. Prækvartæret består på dette kort udelukkende af plastisk ler af Eocæn alder. Leret ligger dybest i den østlige del af kortet (f. eks. i kote -42 m i boringen 172.71 vest for Marstal), og højest i den vestlige del (f. eks. kote -21 m i boringen 171.2E sydøst for Søby)

## Kwartære aflejringer

Området som dette kort dækker domineres af glaciale og interglaciale aflejringer med en klar overvægt af de lede aflejringer. I boringer med detaljerede oplysninger, er det ikke unormalt at finde vekslende lag af glacial og interglacial oprindelse. I boringen 172.167 er der fx to lag af marin Eem oprindelse, adskilt af både moræneler og smeltevandssandslag. I boringer findes også ofte tynde lag af marin Eem sedimenter mellem lag af moræneler. Denne lagdeling er ikke sedimentær, men skyldes flagedannelse under forskellige isfremstød under Weichsel glaciationen.

I det sydfynske område kan forekomsten af interglaciale aflejringer i boringer ikke bruges til at opdele de kvartære sedimenter i lag af Weichsel og præweichsel alder. Under feltarbejde langs Ærøs kyster i 1984 og 1985 (Hansen, 1987) observeredes ingen faststående glaciale / interglaciale aflejringer.

Figur 1 (bilag) viser et for det sydfynske område typisk klint-profil med gentagen repetition af lagfølgen ved overskydninger, og hvor den marine Eem er brugt som »smøremiddel« i overskydningsplanerne (fra Hansen, 1987). Den samlede kvartære lagfølge i området består af (nede fra og opad):

- \* Præweichsel moræne, sandsynlig af Saale alder. Morænen er ikke med sikkerhed genkendelig i boringer (på grund af de mange overskydninger), men er som ved klinten syd for Vitsø på Ærø en grå moræne gennemsat af en række overskydninger dannet under den senere tektonisering.
- \* »Det blanke ler« som sandsynligvis er et senglaciale lacustrint sediment (Sjørring, 1983) dannet under de sidste stadier af Saale glaciationen. Det »blanke ler« kan genfindes i boringer, men det har fået samme farve som det marine Eem på kortet.
- \* Eem aflejringer afsat i ferskvand kendes kun beskrevet som tynde lag (få cm), og er ikke beskrevet fra boringer. Laget består ved Bregninge Mark af et 20 cm tykt lag af sandet sediment med et stort indhold af sammenkyllede snegle og muslinger.
- \* Marine Eem aflejringer er lerede til siltede normalt blålige sedimenter med et stort indhold af muslinge- og snegle skaller (fx *Arctica islandica*, *Nassarius reticularis* og *Mytilus edulis*). Det marine Eem indledes med et tynt lag dynd / sand med skaller af *Mytilus edulis* og *Cardium edule* (Madsen et al., 1908). I den øverste del af det marine Eem bliver sandlag mere og

mere hyppige (denne zone kaldes også for den tiger- og zebrastribede zone). Ved de senere flagedannelser er det oftest lag af »det blanke ler« eller af marint Eem, der udgør bunden af flagerne, og som har ageret som smøremiddel under flagedannelsen.

- \* »Det hvide sand« er meget velsorteret fint, der i udbredelse udstrækker sig over hele det sydfynske område. Der er fremsat flere teorier om det hvide sands oprindelse (Madsen et al., 1908; Rosenkrantz, 1944, Friis & Larsen, 1975 og Petersen et al., 1989), men det er sandsynligvis et fluviatilt, stedvist æolisk omlejret sediment af interglacial- / interstadial oprindelse (Gravesen, 1993). Hvor »det hvide sand« er laboratoriebeskrevet har det DGU-symbolet IS (interglacialsand).
- \* Gammelbaltisk moræne
- \* Nordøstmoræne
- \* Ungbaltisk moræne
- \* Bælthavsmoræne

De enkelte moræner kan ikke med sikkerhed adskilles fra hinanden i boringer, men kan adskilles ud fra feltstudier suppleret med for eksempel foraminiferanalyser og stentællinger.

De enkelte moræneenheder på Ærø svarer til moræneaflejrerne fra Risticke Klint på Langeland, som de er beskrevet af Sjørring et al. (1982). Mellem de enkelte moræneenheder er der større eller mindre lag af smeltevandssand.

### *Postglaciale aflejringer*

Da det sydfynske område efter Weichsel glaciationen har været utsat for en generel havniveaustigning, findes postglaciale marine sedimentter kun, hvor der stadig er hav, eller hvor områder er inddæmmet (Gråsten Nor, Stokkeby Nor og området ved Vitsø på Ærø).

Postglaciale ferskvandssedimenter findes i mindre mælestok ved søer og langs vandløb (f. eks. 171.35 syd for Stokkeby Nor på Ærø).

### *Hydrogeologiske forhold*

Inden for kortbladet er det helt overvejende reservoirer af smeltevandssand og -grus, der udnyttes. »Det hvide sand« udnyttes lokalt, men har på grund af den fine kornstørrelse kun ringe ydelse. Generelt er indvindingsforholdene dårlige i det sydfynske område (Danmarks Geologiske Undersøgelse, 1979). Dette skyldes manglen på større sammenhængende sand / gruslag, samt den store grad af tektonisering området har været utsat for. Kun få steder som sydøst for Vitsø og på Drejø nærmer udstrækningen af reservoirerne sig en kvadratkilometer. Ydelserne i området når højst op på 15 m<sup>3</sup>/time ved en sænkning på 5,2 meter (boring 172.42 på Drejø) men ligger oftest under 5 m<sup>3</sup>/time.

# Description

The geological basic data map Ærø 1311 IV Mommark together with part of 1311 I Rudkøbing at a scale of 1:50.000 include the island of Ærø, the southeastern part of Tåsinge, Drejø and several small islands. The map has previously been geologically interpreted by Binzer & Rasmussen (1977), but this map is based on a new geological interpretation. The well information on the map is from the Well Record Archive at the Geological Survey of Denmark. Each well is shown as a cyclogram with the lithology indicated by letter symbols. The various colours of the cyclogram sectors represent the geological interpretation. If the geological interpretation of a layer differs from the original description, the letter symbol and the colour will diverge. This happens when an old description saying sand are interpreted as meltwater sand. For a more detailed description of the cyclograms see the map legend.

## Pre-Quaternary sediments

Only a few wells in the area penetrate the pre-Quaternary surface; the surface is thought to be inclined towards the east.

## Quaternary sediments

The Quaternary sediments in the area are dominated by glacial and interglacial deposits. In the detailed well-descriptions alternating layers of glacial and interglacial origin are commonly reported. This layering is not sedimentary but due to later glacial tectonisation. The total Quaternary package consists of:

- \* Pre Weichelian till, probably from the Saale glaciation.
- \* »The shiny clay«, probable late glacial lacustrine sediments from one of the latest stages of the Saale glaciation.
- \* Freshwater Eemian sandy sediments with many shells.
- \* Marine Eemian clayish sediment with in situ shells of eg *Artica islandica*.
- \* »The white sand«, a well sorted fine grained sand of interglacial / interstadial origin, occasionally undergone eolian reworking.
- \* Old Baltic till.
- \* Northeastern till.
- \* Young Baltic till
- \* Bælthav till.

It is not possible to distinguish the tills on the base of well-data alone.

## Post Glacial sediments

Marine post-Glacial sediments are only found offshore and in reclaimed areas. Post-Glacial freshwater sediments are found locally in lakes and along rivers.

## Hydrogeology

The hydrological yield of the wells in this area is limited due to the small size and unconnected nature of the reservoirs.

## References

- Andersen, L. J., 1973: Cyclogram technique for geological mapping of borehole data. Danm. Geol. Unders. III., række, 41, 25 pp..  
Andersen, L. J. & Gravesen, P., 1989: Cyclogram Maps in the interpretation of pumping Test. In: Moore, J. E., Zaporzsec, A. A., Csallany, S. C. & Varney, T. C.. Recent Advances in Groundwater Hydrology, AIH, p. 598–604.  
Binzer, K. & Rasmussen, L. Aa., 1977: Geologisk basisdatakort over 1311IV Ærø og del af 1311I Rudkøbing. Danm. Geol. Unders..  
Danmarks Geologiske Undersøgelse, Fyns Amt, & Cowicunslt 1979: Hydrogeologisk Kortlegning. Fyns Amt.  
Friis, H. & Larsen, G., 1975: Tungmineralanalytisk bidrag til forståelsen af dannelsesforholdene for det sydfynske hvide sand. Dansk Geol. Foren., Årsskrift for 1974, p. 25–31.  
Gravesen, P., 1993: The Svendborg formation – A Quaternary quartz sand and organic mud deposit in southern Fyn and surrounding island, Denmark. Under udarbejdelse / In preparation.  
Gravesen, P., 1985: Grundvandssystemerne ved Danmarks Geologiske Undersøgelse – databaser og anvendelse. I: Vattenarkivsystemer i Norden. Nordisk expertmöte, Esbo, NHP-rapport nr. 12, p. 179–199.  
Gravesen, P. & Fredericia, J., 1984: Zeus-geodatabasesystem. Borrearkivet. Databeskrivelse, kodesystem og sideregistre. Danm. Geol. Unders., Ser. C, nr. 3, 259 pp..  
Hansen, M., 1987: En kvartærgenetisk beskrivelse af Ærø. Speciale rapport, Københavns Universitet, 86..  
Madsen, V., Nordman, V. & Hartz, N., 1908: Eem-Zonerne. Studier over Cyprinaleret og andre Eem-aflejringer i Danmark, Nord-Tyskland og Holland. Danm. Geol. Unders.. II række, nr. 17, 302 pp. + atlas.  
Petersen, K. S., Rasmussen, L. Aa., Hamberg, L., Konradi, P. & Nielsen, A. V., 1989: Excursion Guide to the Quaternary Geology of the Southwestern part of Denmark. Danm. Geol. Unders., Int. report No. 16, 11 pp., 4 ap..  
Rosenkrantz, A., 1944: Nye bidrag til forståelsen af Ristinge Klints opbygning. Meddr. Dansk Geol. Foren., 10, p. 431–435.  
Sjørring, S., 1983: The glacial history of Denmark. In: Jürgen Ehlers (ed.), Glacial deposits in north-west Europe. Rotterdam p. 163–179.  
Sjørring, S., Nielsen, P. E., Frederiksen, J., Hegner, J., Hyde, G., Jensen, J. B., Mogensen, A. & Vortish, W., 1982: Observation fra Ristinge Klint, felt- of laboratorieundersøgelser. Danm. Geol. Foren., Årsskrift 1981, p. 135–149.



DGU

Danmarks Geologiske Undersøgelse  
Miljøministeriet

Thoravej 8 · 2400 København NV · Tlf.: 31 10 66 00

1992

SIGNATURFORKLARING

Cirkeldiagrammer

- Beliggendhed af boring
- Kapacitet i m³ pr. m. sækning
- Jordlagssymbol (DG)
- Usikker geologisk fortolkning
- Filtinterval kendt (A)
- Filtinterval, skønnet (B)
- Grundvandspotentiale for filter A, B ...
- D.G.U. ark nr. (566)
- Updikket laggrænse  
Boringsens udførelsesår (1967)
- Boringspotentiale (B)  
Forudsigelsesrate (E)  
Terrain (kote + 10)  
Lagpræmie (kote - 4)
- Underkant af borer (kote - 4)
- Grundvandspotentiale  
i udforlæsset  
ved senere pejling
- D.G.U.-prevejbeskrivelse  
følger

Jordlagssymbolet

- |    |  |    |  |
|----|--|----|--|
| A  | Grundvand                                    | ML | Moraine-silt (till)                        |
| B  | Bredt  | ML | Moraine (levet till)                       |
| C  | Danien bryozokalk, korallkalk                | MS | Moranesand (sandet till)                   |
| D  | Kul. tertiærgelejer (ikke postglacielle)     | MZ | Vældesand (sandet till)                    |
| DG | Diabas, basalt                               | NJ | Perr. lersten, stensten                    |
| DG | Smeltevandsdælt                              | NG | Perr. sandsten                             |
| DG | Smeltevandsstrækninger kalksten              | NP | Perr. marmor                               |
| DG | Smeltevandsand                               | NW | Perr. evaporitter                          |
| DG | Smeltevandsstrækningsslag                    | O  | Fjeld                                      |
| DZ | Smeltevandssten                              | OL | Oligocæn ler                               |
| E  | Eocæn vulkansk aske                          | OS | Oligocæn ler, Økserade Sandsten            |
| EE | Eocæn moler                                  | P  | Oligocæn sand                              |
| ED | Eocæn ler                                    | GS | Gelejer                                    |
| EV | Eocæn vekslende små lag                      | PL | Selænden grænseskælt (paleocæn)            |
| F  | Postglacial ferskvandskal                    | PK | Selænden skælt (paleocæn)                  |
| FG | Postglacial ferskvandsdælt                   | PL | Selænden sandsten, grænsandsten (paleocæn) |
| FI | Postglacial ferskvandskal                    | PR | Selænden grænseskælt (paleocæn)            |
| FP | Postglacial ferskvandsdælt                   | PV | Selænden vekslende små lag (paleocæn)      |
| FS | Postglacial ferskvandsand                    | Q  | Sandsten                                   |
| FV | Postglacial ferskvandsdælt med ferskvandslag | SG | Interglacial saltvandsdælt                 |
| G  | Grus, sand og grus                           | GP | Interglacial saltvandskalje                |
| GI | Oligocæn - miocæn - plioæn brunkul           | GS | Interglacial saltvandsdælt                 |
| GL | silt. Vejlefjord formation                   | GT | Interglacial saltvandskalje                |
| GL | Oligocæn - miocæn - plioæn glimmerler        | GV | Interglacial vekslende små saltvandslag    |
| GL | ier. Vejlefjord formation                    | ID | Vejlefjord formation                       |
| GP | Oligocæn - miocæn - plioæn omgivet           | IG | Interglacial ferskvandskalje               |
| GP | brunkul                                      | IS | Interglacial ferskvandskalje               |
| GS | Oligocæn - miocæn - plioæn omgivet           | IG | Interglacial ferskvandskalje               |
| GS | brunkul                                      | IL | Interglacial ferskvandskalje               |
| GS | Oligocæn - miocæn - plioæn vekslende         | IP | Interglacial ferskvandskalje               |
| GS | kalsit                                       | IS | Interglacial ferskvandskalje               |
| HG | Postglacial saltvandsgrus                    | IT | Interglacial ferskvandskalje               |
| HG | Postglacial saltvandsdælt                    | HT | Interglacial ferskvandsdælt                |
| HL | Postglacial saltvandskalje                   | HS | Postglacial saltvandsdælt                  |
| HL | Postglacial saltvandsdælt                    | HT | Postglacial saltvandsdælt                  |
| HS | Postglacial saltvandskalje                   | HW | Postglacial saltvandsdælt og saltvandslag  |
| I  | Postglacial ferskvandsdælt                   | I  | Interglacial ferskvandskalje               |
| ID | Interglacial ferskvandskalje                 | ID | Interglacial ferskvandskalje               |
| ID | vekslende små lag                            | IG | Interglacial ferskvandskalje               |
| ID | vekslende små lag                            | IS | Interglacial ferskvandskalje               |
| ID | vekslende små lag                            | IT | Interglacial ferskvandskalje               |
| ID | vekslende små lag                            | HT | Interglacial ferskvandskalje               |
| ID | vekslende små lag                            | HS | Interglacial ferskvandskalje               |
| ID | vekslende små lag                            | HT | Interglacial ferskvandskalje               |
| ID | vekslende små lag                            | HW | Interglacial ferskvandskalje               |
| ID | vekslende små lag                            | I  | Interglacial ferskvandskalje               |
| ID | vekslende små lag                            | ID | Interglacial ferskvandskalje               |
| ID | vekslende små lag                            | IG | Interglacial ferskvandskalje               |
| ID | vekslende små lag                            | IS | Interglacial ferskvandskalje               |
| ID | vekslende små lag                            | IT | Interglacial ferskvandskalje               |
| ID | vekslende små lag                            | HT | Interglacial ferskvandskalje               |
| ID | vekslende små lag                            | HS | Interglacial ferskvandskalje               |
| ID | vekslende små lag                            | HT | Interglacial ferskvandskalje               |
| ID | vekslende små lag                            | HW | Interglacial ferskvandskalje               |
| ID | vekslende små lag                            | I  | Interglacial ferskvandskalje               |
| ID | vekslende små lag                            | ID | Interglacial ferskvandskalje               |
| ID | vekslende små lag                            | IG | Interglacial ferskvandskalje               |
| ID | vekslende små lag                            | IS | Interglacial ferskvandskalje               |
| ID | vekslende små lag                            | IT | Interglacial ferskvandskalje               |
| ID | vekslende små lag                            | HT | Interglacial ferskvandskalje               |
| ID | vekslende små lag                            | HS | Interglacial ferskvandskalje               |
| ID | vekslende små lag                            | HT | Interglacial ferskvandskalje               |
| ID | vekslende små lag                            | HW | Interglacial ferskvandskalje               |
| ID | vekslende små lag                            | I  | Interglacial ferskvandskalje               |
| ID | vekslende små lag                            | ID | Interglacial ferskvandskalje               |
| ID | vekslende små lag                            | IG | Interglacial ferskvandskalje               |
| ID | vekslende små lag                            | IS | Interglacial ferskvandskalje               |
| ID | vekslende små lag                            | IT | Interglacial ferskvandskalje               |
| ID | vekslende små lag                            | HT | Interglacial ferskvandskalje               |
| ID | vekslende små lag                            | HS | Interglacial ferskvandskalje               |
| ID | vekslende små lag                            | HT | Interglacial ferskvandskalje               |
| ID | vekslende små lag                            | HW | Interglacial ferskvandskalje               |
| ID | vekslende små lag                            | I  | Interglacial ferskvandskalje               |
| ID | vekslende små lag                            | ID | Interglacial ferskvandskalje               |
| ID | vekslende små lag                            | IG | Interglacial ferskvandskalje               |
| ID | vekslende små lag                            | IS | Interglacial ferskvandskalje               |
| ID | vekslende små lag                            | IT | Interglacial ferskvandskalje               |
| ID | vekslende små lag                            | HT | Interglacial ferskvandskalje               |
| ID | vekslende små lag                            | HS | Interglacial ferskvandskalje               |
| ID | vekslende små lag                            | HT | Interglacial ferskvandskalje               |
| ID | vekslende små lag                            | HW | Interglacial ferskvandskalje               |
| ID | vekslende små lag                            | I  | Interglacial ferskvandskalje               |
| ID | vekslende små lag                            | ID | Interglacial ferskvandskalje               |
| ID | vekslende små lag                            | IG | Interglacial ferskvandskalje               |
| ID | vekslende små lag                            | IS | Interglacial ferskvandskalje               |
| ID | vekslende små lag                            | IT | Interglacial ferskvandskalje               |
| ID | vekslende små lag                            | HT | Interglacial ferskvandskalje               |
| ID | vekslende små lag                            | HS | Interglacial ferskvandskalje               |
| ID | vekslende små lag                            | HT | Interglacial ferskvandskalje               |
| ID | vekslende små lag                            | HW | Interglacial ferskvandskalje               |
| ID | vekslende små lag                            | I  | Interglacial ferskvandskalje               |
| ID | vekslende små lag                            | ID | Interglacial ferskvandskalje               |
| ID | vekslende små lag                            | IG | Interglacial ferskvandskalje               |
| ID | vekslende små lag                            | IS | Interglacial ferskvandskalje               |
| ID | vekslende små lag                            | IT | Interglacial ferskvandskalje               |
| ID | vekslende små lag                            | HT | Interglacial ferskvandskalje               |
| ID | vekslende små lag                            | HS | Interglacial ferskvandskalje               |
| ID | vekslende små lag                            | HT | Interglacial ferskvandskalje               |
| ID | vekslende små lag                            | HW | Interglacial ferskvandskalje               |
| ID | vekslende små lag                            | I  | Interglacial ferskvandskalje               |
| ID | vekslende små lag                            | ID | Interglacial ferskvandskalje               |
| ID | vekslende små lag                            | IG | Interglacial ferskvandskalje               |
| ID | vekslende små lag                            | IS | Interglacial ferskvandskalje               |
| ID | vekslende små lag                            | IT | Interglacial ferskvandskalje               |
| ID | vekslende små lag                            | HT | Interglacial ferskvandskalje               |
| ID | vekslende små lag                            | HS | Interglacial ferskvandskalje               |
| ID | vekslende små lag                            | HT | Interglacial ferskvandskalje               |
| ID | vekslende små lag                            | HW | Interglacial ferskvandskalje               |
| ID | vekslende små lag                            | I  | Interglacial ferskvandskalje               |
| ID | vekslende små lag                            | ID | Interglacial ferskvandskalje               |
| ID | vekslende små lag                            | IG | Interglacial ferskvandskalje               |
| ID | vekslende små lag                            | IS | Interglacial ferskvandskalje               |
| ID | vekslende små lag                            | IT | Interglacial ferskvandskalje               |
| ID | vekslende små lag                            | HT | Interglacial ferskvandskalje               |
| ID | vekslende små lag                            | HS | Interglacial ferskvandskalje               |
| ID | vekslende små lag                            | HT | Interglacial ferskvandskalje               |
| ID | vekslende små lag                            | HW | Interglacial ferskvandskalje               |
| ID | vekslende små lag                            | I  | Interglacial ferskvandskalje               |
| ID | vekslende små lag                            | ID | Interglacial ferskvandskalje               |
| ID | vekslende små lag                            | IG | Interglacial ferskvandskalje               |
| ID | vekslende små lag                            | IS | Interglacial ferskvandskalje               |
| ID | vekslende små lag                            | IT | Interglacial ferskvandskalje               |
| ID | vekslende små lag                            | HT | Interglacial ferskvandskalje               |
| ID | vekslende små lag                            | HS | Interglacial ferskvandskalje               |
| ID | vekslende små lag                            | HT | Interglacial ferskvandskalje               |
| ID | vekslende små lag                            | HW | Interglacial ferskvandskalje               |
| ID | vekslende små lag                            | I  | Interglacial ferskvandskalje               |
| ID | vekslende små lag                            | ID | Interglacial ferskvandskalje               |
| ID | vekslende små lag                            | IG | Interglacial ferskvandskalje               |
| ID | vekslende små lag                            | IS | Interglacial ferskvandskalje               |
| ID | vekslende små lag                            | IT | Interglacial ferskvandskalje               |
| ID | vekslende små lag                            | HT | Interglacial ferskvandskalje               |
| ID | vekslende små lag                            | HS | Interglacial ferskvandskalje               |
| ID | vekslende små lag                            | HT | Interglacial ferskvandskalje               |
| ID | vekslende små lag                            | HW | Interglacial ferskvandskalje               |
| ID | vekslende små lag                            | I  | Interglacial ferskvandskalje               |
| ID | vekslende små lag                            | ID | Interglacial ferskvandskalje               |
| ID | vekslende små lag                            | IG | Interglacial ferskvandskalje               |
| ID | vekslende små lag                            | IS | Interglacial ferskvandskalje               |
| ID | vekslende små lag                            | IT | Interglacial ferskvandskalje               |
| ID | vekslende små lag                            | HT | Interglacial ferskvandskalje               |
| ID | vekslende små lag                            | HS | Interglacial ferskvandskalje               |
| ID | vekslende små lag                            | HT | Interglacial ferskvandskalje               |
| ID | vekslende små lag                            | HW | Interglacial ferskvandskalje               |
| ID | vekslende små lag                            | I  | Interglacial ferskvandskalje               |
| ID | vekslende små lag                            | ID | Interglacial ferskvandskalje               |
| ID | vekslende små lag                            | IG | Interglacial ferskvandskalje               |
| ID | vekslende små lag                            | IS | Interglacial ferskvandskalje               |
| ID | vekslende små lag                            | IT | Interglacial ferskvandskalje               |
| ID | vekslende små lag                            | HT | Interglacial ferskvandskalje               |
| ID | vekslende små lag                            | HS | Interglacial ferskvandskalje               |
| ID | vekslende små lag                            | HT | Interglacial ferskvandskalje               |
| ID | vekslende små lag                            | HW | Interglacial ferskvandskalje               |
| ID | vekslende små lag                            |    |  |

Bilag 1.

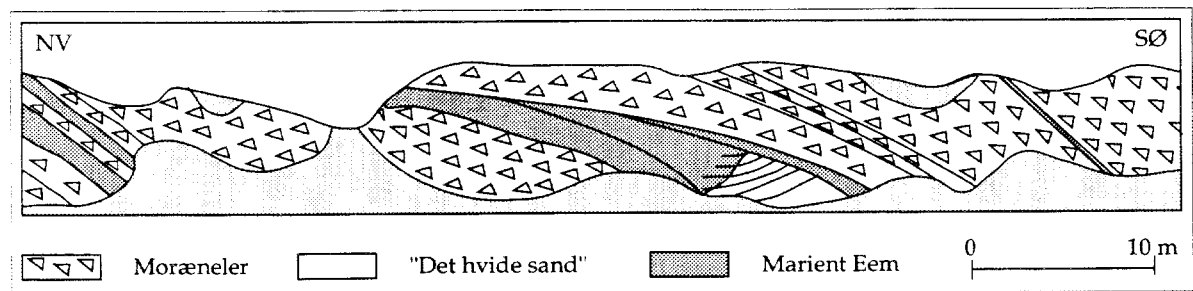


Fig. 1

Et for det sydfynske område typisk klint-profil med gentagen repetition af lagfølgen ved overskydninger (fra Hansen, 1987).

A typical profile from a coastal cliff in the area south of Fyn. The several repetitions of the sedimentary sequences are due to thrusting (from Hansen, 1987).

På kortbladet vises de geologiske dannelser, som de er fundet i borer, i et område omkring Ærø.

Over det eocæne Plastiske Ler ligger kvartære aflejringer. Eemperiodens hav- og ferskvandsaflejringer udgør en karakteristisk afbrydelse i de glaci-ale sedimentter.

The map sheet presents information on the geological formations found in wells in an area around the island of Ærø south of Fyn.

Quaternary deposits overlie the Eocene Plastic Clay.

Interglacial marine and freshwater sediments from the Eemian occur inter-stratified with the glacial deposits.